

*MÉTHODE DES ÉLÉMENTS VIRTUELS (VEM)
POUR LE CALCUL DE LA DÉFORMATION MÉCANIQUE
COUPLÉE AUX ÉCOULEMENTS EN MILIEUX POREUX.*

THÈSE DE JULIEN COULET

SOUTENUE LE 13 NOVEMBRE 2019

DIRECTEURS : V. GIRAULT, F. NATAF

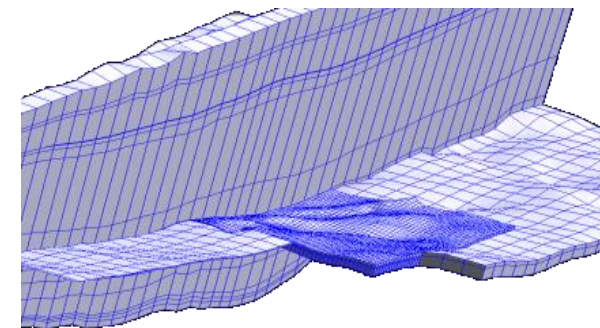
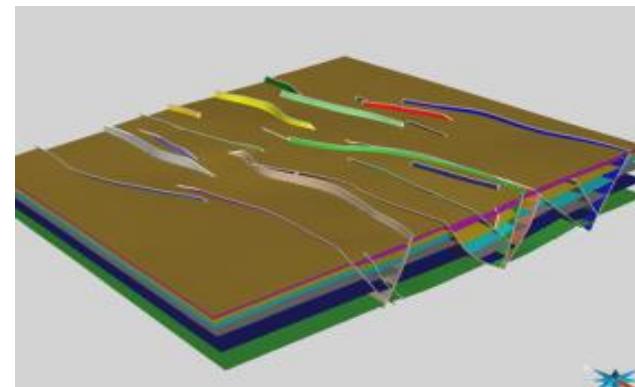
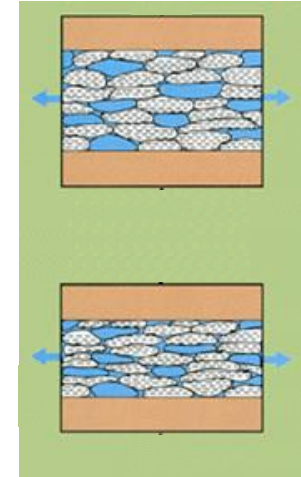
PROMOTEURS : I. FAILLE, N. GUY

IFPEN/LJLL



CONTEXTE

- Transferts en milieux poreux
- Simulations couplées
 - Ecoulements
 - Déformation mécanique
- Applications
 - Réservoir, Stockage de gaz, Géothermie
 - Impact sur les propriétés pétrophysiques, Intégrité du sous-sol
- Structure du sous-sol complexe
 - Hétérogénéités, stratifications
 - Milieux « allongés »
 - Failles/fractures
 - Domaine écoulement << Domaine mécanique



SIMULATIONS COUPLÉES ÉCOULEMENTS/DÉFORMATIONS

- Approche standard : couplage

- D'un code « Ecoulement », Volumes Finis, TPFA/MPFA
- D'un code « Mécanique, Eléments Finis, P1, Q1

- Donne accès à des modélisations avancées

- Pose des problèmes de compatibilité de maillage

- Hexaèdres dégénérés, rapports de forme défavorables

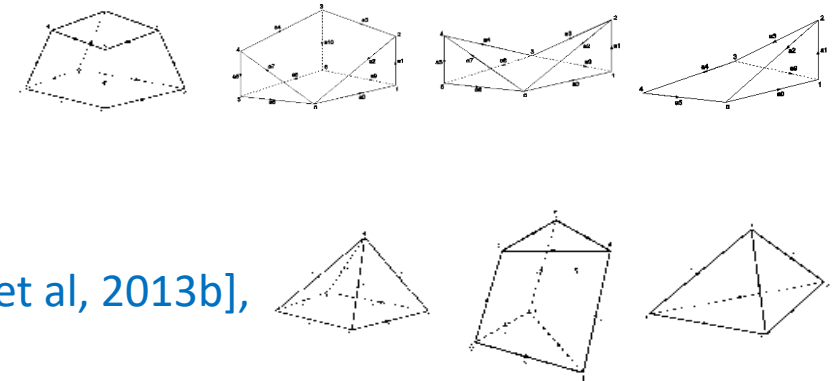
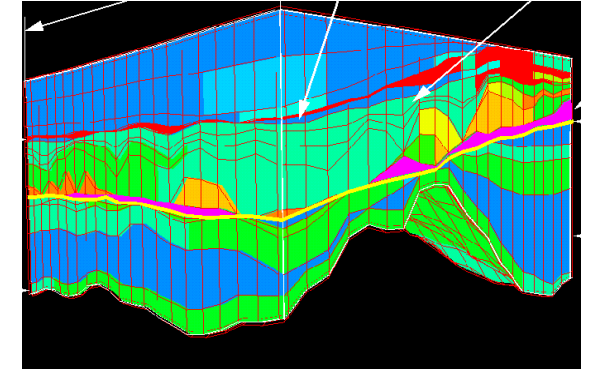
- Une approche récente : les éléments virtuels (VEM)

- Qui étend les EF aux maillages généraux, à l'ordre k
- Une littérature déjà fournie en 2016

- Diffusion scalaire [Beirao et al, 2013a], élasticité linéaire [Beirao et al, 2013b], élasticité non linéaire, plasticité [Beirao et al, 2015]]
- En constante expansion

- Objectif de la thèse

- Etudier le potentiel des VEM pour des discrétisations couplées Ecoulements VF/ Mécanique VEM sur maillages généraux



PLAN

- Principe des VEM
- Quelques résultats pour l'élasticité linéaire
- Poroélasticité
 - Système poroélastique linéaire
 - Discrétisation VEM/VF
 - Résultats numériques
- Bilan/Perspectives

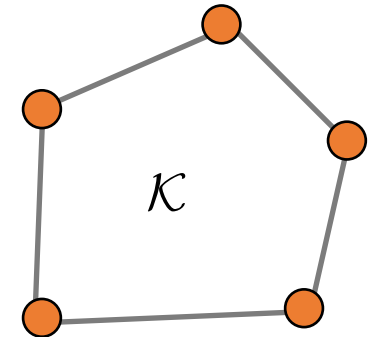
LA MÉTHODE DES ÉLÉMENTS VIRTUELS (VEM)

- Approche récente qui étend les EF aux maillages généraux

- Polygone, polyèdre, non convexe, déformé

- Principe

- Formulation faible $a(u, v) = \langle f, v \rangle \quad \forall v \in V$
- Espace d'approximation conforme $V_h = \{v_h \in V : v_h|_{\mathcal{K}} \in V_h^{\mathcal{K}}, \forall \mathcal{K}\}$
- Dans chaque maille, $V_h^{\mathcal{K}} = P_k + \text{non } P_k$
 - Projection $\pi^{\mathcal{K}} : V_h^{\mathcal{K}} \longrightarrow P_k(\mathcal{K})$
 - Calculable en fonction des degrés de liberté
- Forme bilinéaire approchée $a_h^{\mathcal{K}}$



$$a_h^{\mathcal{K}}(u_h, v_h) = a^{\mathcal{K}}(\pi u_h, \pi v_h) + \alpha_{\mathcal{K}} S_h^{\mathcal{K}}(u_h - \pi u_h, v_h - \pi v_h)$$

Consistance

$$a_h^{\mathcal{K}}(p, v_h) = a^{\mathcal{K}}(p, v_h) \quad \forall p \in P_k, v_h \in V_h$$

Stabilité $\exists \alpha^*, \alpha_*$, (indépendants de h) tq

$$\alpha_* a^{\mathcal{K}}(v_h, v_h) \leq a_h^{\mathcal{K}}(v_h, v_h) \leq \alpha^* a^{\mathcal{K}}(v_h, v_h)$$

LA MÉTHODE DES ÉLÉMENTS VIRTUELS (VEM)

● Pb de Poisson

Trouver $u \in V_0 = H_0^1(\Omega)$ tel que $a(u, v) = \int_{\Omega} \nabla u \cdot \nabla v = \langle f, v \rangle \forall v \in V_0$

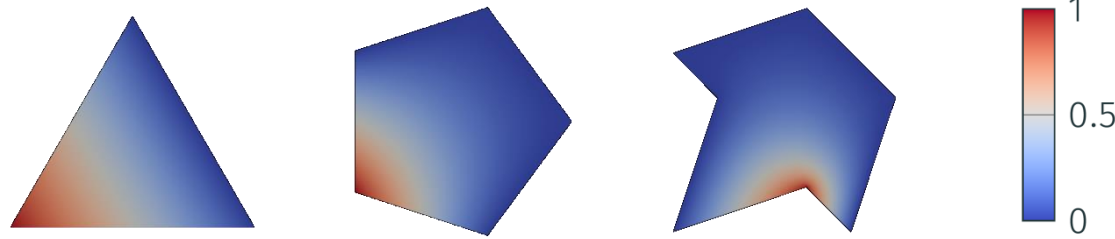
● VEM d'ordre 1 en 2D

● Degrés de liberté : valeurs aux nœuds

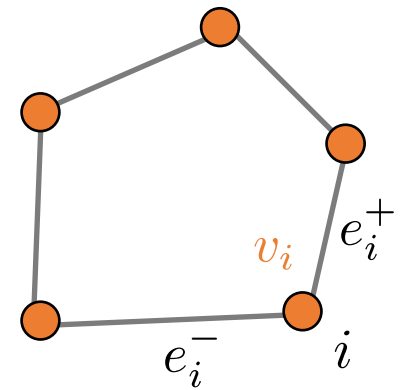
● Espace d'approximation local $V_h^{\mathcal{K}}$

- $v_h \in C^0(\partial\mathcal{K}), v_h|_e \in P_1(e)$
 $\Delta(v_h) = 0$ dans \mathcal{K}

● A titre d'illustration, exemples de fonctions de base pour différents types de maille calculées numériquement



● Mais jamais calculées en pratique



LA MÉTHODE DES ÉLÉMENTS VIRTUELS (VEM)

● VEM d'ordre 1 en 2D

- Degrés de liberté : valeurs aux nœuds

- Espace d'approximation local $V_h^{\mathcal{K}}$

- $v_h \in C^0(\partial\mathcal{K}), v_h|_e \in P_1(e)$
 $\Delta(v_h) = 0$ dans \mathcal{K}

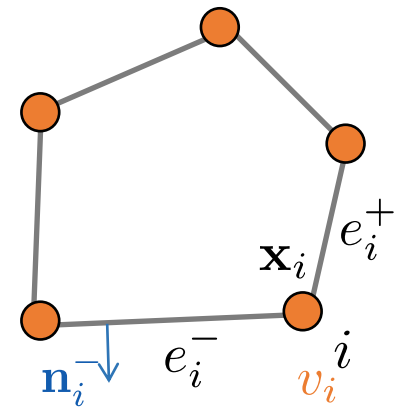
- Fonctions ne sont pas explicitement connues mais :

- Gradient moyen calculable à partir des dof et de la géométrie

$$\langle \nabla v_h \rangle_{\mathcal{K}} = \frac{1}{|\mathcal{K}|} \int_{\mathcal{K}} \nabla v_h = \frac{1}{|\mathcal{K}|} \sum_{e \in \partial\mathcal{K}} \int_e v_h \mathbf{n}_e ds$$

$$\langle \nabla v_h \rangle_{\mathcal{K}} = \frac{1}{2|\mathcal{K}|} \sum_{i \in \mathcal{N}_{\mathcal{K}}} (|e_i^-| \mathbf{n}_i^- + |e_i^+| \mathbf{n}_i^+) v_i$$

- Valeur moyenne $\bar{v}_{\mathcal{K}} = \frac{1}{N_{\mathcal{K}}} \sum_{i \in \mathcal{N}_{\mathcal{K}}} v_i$



LA MÉTHODE DES ÉLÉMENTS VIRTUELS (VEM)

Définition d'un **projecteur** $\pi^K : V_h^K \longrightarrow P_1(K)$

$$\pi^K v(\mathbf{x}) = \langle \nabla v \rangle_K \cdot (\mathbf{x} - \bar{\mathbf{x}}_K) + \bar{v}_K$$

$$a^K(p, \pi^K v_h) = \int_K \nabla \pi v_h \cdot \nabla p = \int_K \nabla v_h \cdot \nabla p = a^K(p, v_h) \quad \forall p \in P_1(K)$$

Formulation faible approchée

$$\text{Trouver } u_h \in V_h^0 \text{ tq } a_h(u_h, v_h) = \sum_K a_h^K(u_h, v_h) = \langle f_h, v_h \rangle \quad \forall v_h \in V_h^0$$

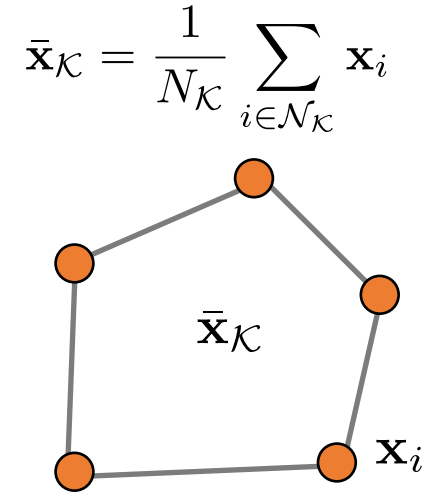
$$a_h^K(u_h, v_h) = a^K(\pi u_h, \pi v_h) + \sum_{i \in N_K} (u_h - \pi^K u_h)(\mathbf{x}_i)(v_h - \pi^K v_h)(\mathbf{x}_i)$$

Assemblage similaire aux EF

Calcul des matrices élémentaires sur chaque maille

Pas d'élément de référence

Requiert les quantités géométriques : mesure, normales



ELASTICITÉ LINÉAIRE

● **Modèle**

$$\begin{cases} -\operatorname{div}(\bar{\sigma}) = \mathbf{f} & \text{dans } \Omega \\ \bar{\sigma} = \bar{\bar{C}}\epsilon(\mathbf{u}) & \text{dans } \Omega \\ \mathbf{u} = \mathbf{g}_D & \text{sur } \Gamma_D \\ \bar{\sigma}\mathbf{n} = \mathbf{g}_N & \text{sur } \Gamma_N \end{cases}$$

\mathbf{u} déplacement
 $\bar{\sigma}$ tenseur des contraintes
 $\epsilon(\mathbf{u}) = \frac{1}{2}(\bar{\nabla}\mathbf{u} + \bar{\nabla}\mathbf{u}^T)$ tenseur des déformations

● **FV**

$$\mathbf{u} \in \mathbf{H}_D^1(\Omega) : a(\mathbf{u}, \mathbf{v}) = \int_{\Omega} \bar{\bar{C}}\epsilon(\mathbf{u}) : \epsilon(\mathbf{v}) = \int_{\Omega} \mathbf{f}\mathbf{v} + \int_{\Gamma_N} \mathbf{g}_N \cdot \mathbf{v} \quad \forall \mathbf{v} \in \mathbf{H}_{D,0}^1(\Omega)$$

● **Espace local et projection : même principe par composante**

$$\mathbf{V}_h^{\mathcal{K}} = \{\mathbf{v}_h(v_{x,h}, v_{y,h}) : v_{x,h} \in V_h^{\mathcal{K}}, v_{y,h} \in V_h^{\mathcal{K}}\} \quad \pi^{\mathcal{K}}\mathbf{v}(\mathbf{x}) = \langle \bar{\nabla}\mathbf{v} \rangle_{\mathcal{K}}(\mathbf{x} - \bar{\mathbf{x}}_{\mathcal{K}}) + \bar{\mathbf{v}}_{\mathcal{K}}$$

$$a_h^{\mathcal{K}}(\mathbf{u}_h, \mathbf{v}_h) = a^{\mathcal{K}}(\pi\mathbf{u}_h, \pi\mathbf{v}_h) + \alpha_{\mathcal{K}} S_h^{\mathcal{K}}(\mathbf{u}_h - \pi\mathbf{u}_h, \mathbf{v}_h - \pi\mathbf{v}_h)$$

Consistance

$$a^{\mathcal{K}}(\mathbf{p}, \pi\mathbf{v}_h) = a^{\mathcal{K}}(\mathbf{p}, \mathbf{v}_h) \\ \forall \mathbf{p} \in \mathbf{P}_1(\mathcal{K}), \mathbf{v}_h \in \mathbf{V}_h$$

Stabilité

$$S_h^{\mathcal{K}} = \sum_{i \in N_{\mathcal{K}}} (\mathbf{u}_h - \pi^{\mathcal{K}}\mathbf{u}_h)(\mathbf{x}_i) \cdot (\mathbf{v}_h - \pi^{\mathcal{K}}\mathbf{v}_h)(\mathbf{x}_i) \\ \alpha_{\mathcal{K}} = h_{\mathcal{K}}^{d-2} \max C_{ijkl, \mathcal{K}}$$

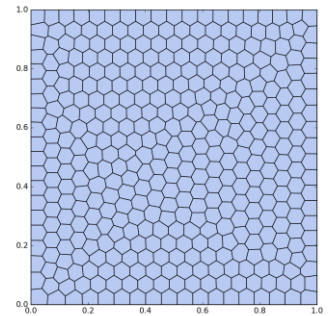
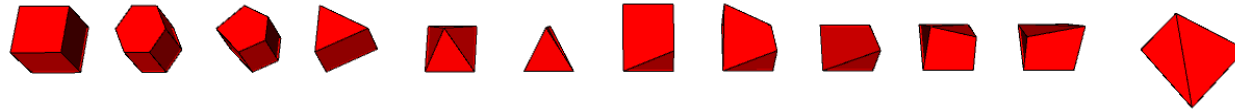
IMPLÉMENTATION SOUS ARCANE/ARCGEOSIM

● Implémentation en 2D et 3D

- Pas de type polyédrique général pour le moment mais une collection de types de mailles

- Maillages Arcane standard

- Polygone jusqu'à 8 sommets en 2D
 - Polyèdres

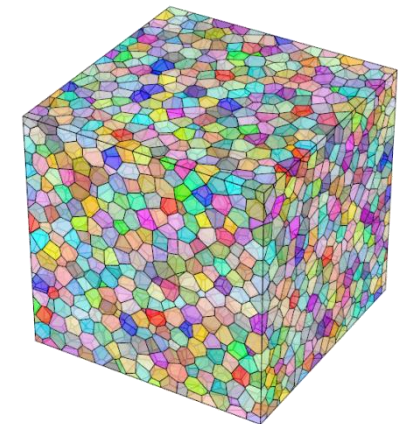


- Maillages polyédriques plus généraux

- Solution actuelle

- Enrichissement de la collection à l'initialisation
 - Fichier mesh.format qui décrit les types présents dans le maillage
 - Fichier mesh.vor qui décrit le maillage
 - Script pour écriture de ces fichiers à partir d'un mesh.vtk
 - Difficulté à factoriser les types

- Solution inefficace mais permet de tester des méthodes numériques



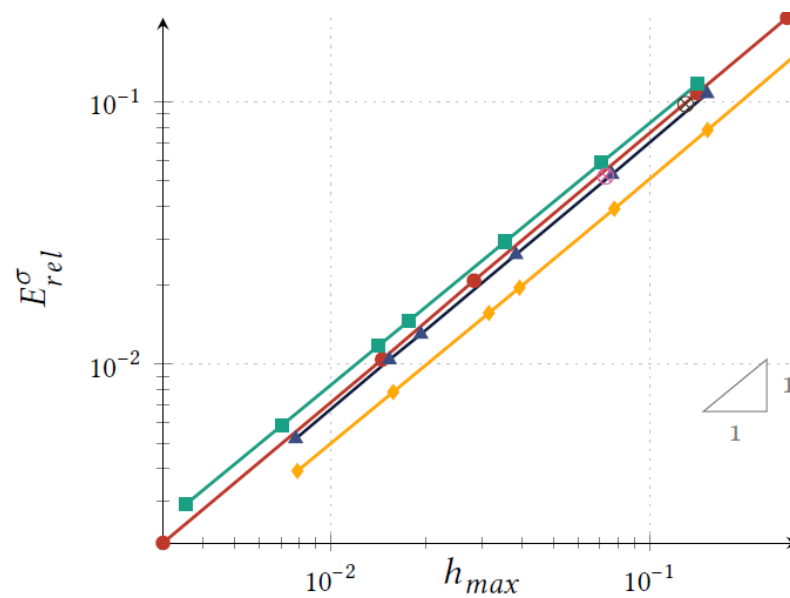
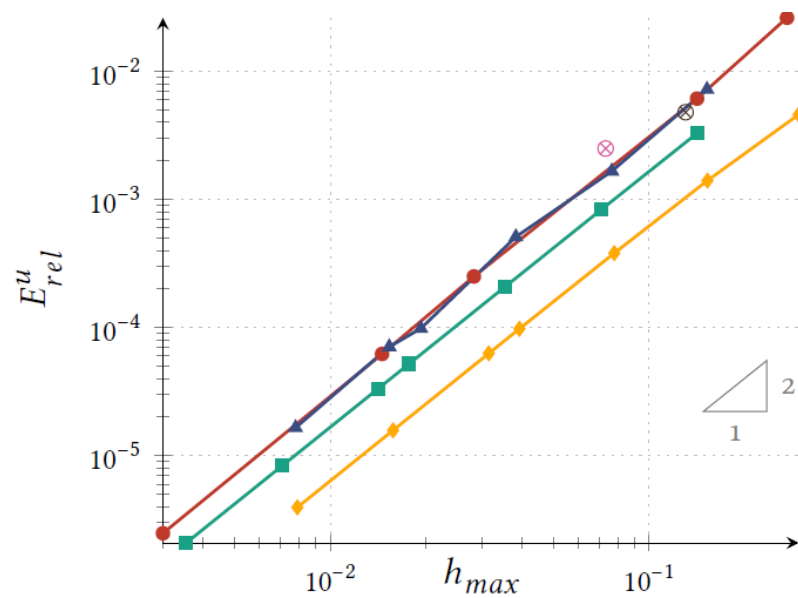
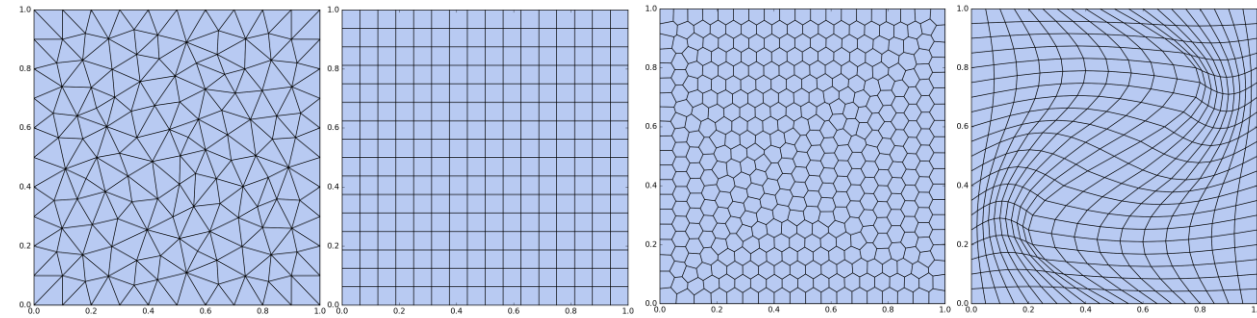
QUELQUES RÉSULTATS POUR L'ÉLASTICITÉ

● **Elasticité 2D, isotrope** $\Omega = [0, 1] \times [0, 1]$

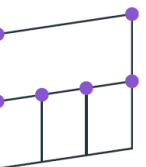
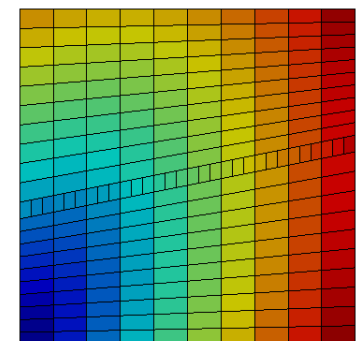
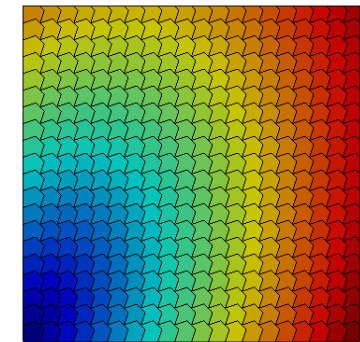
● Module d'Young : $E = 5 \cdot 10^9$

● Coeff. De Poisson $\nu = 0.3$

$$\mathbf{u}_{ex}(x, y) = \begin{pmatrix} 0.01xy \\ -0.02xy \end{pmatrix}$$



—●— Triangles —■— Carrés —▲— Voronoï —◆— Twisted

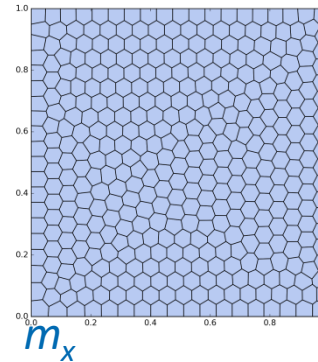


QUELQUES RÉSULTATS POUR L'ÉLASTICITÉ

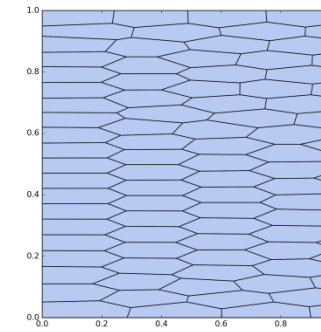
● Robustesse par rapport à la distorsion

● Déformation d'un maillage de base

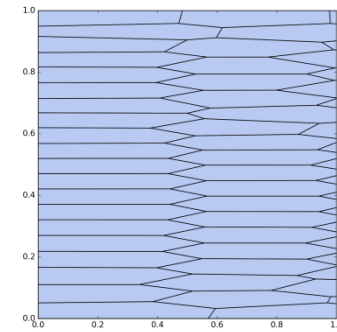
$$\begin{pmatrix} x_i \\ y_i \end{pmatrix} \leftarrow \begin{pmatrix} m_x x_i \\ y_i \end{pmatrix}$$



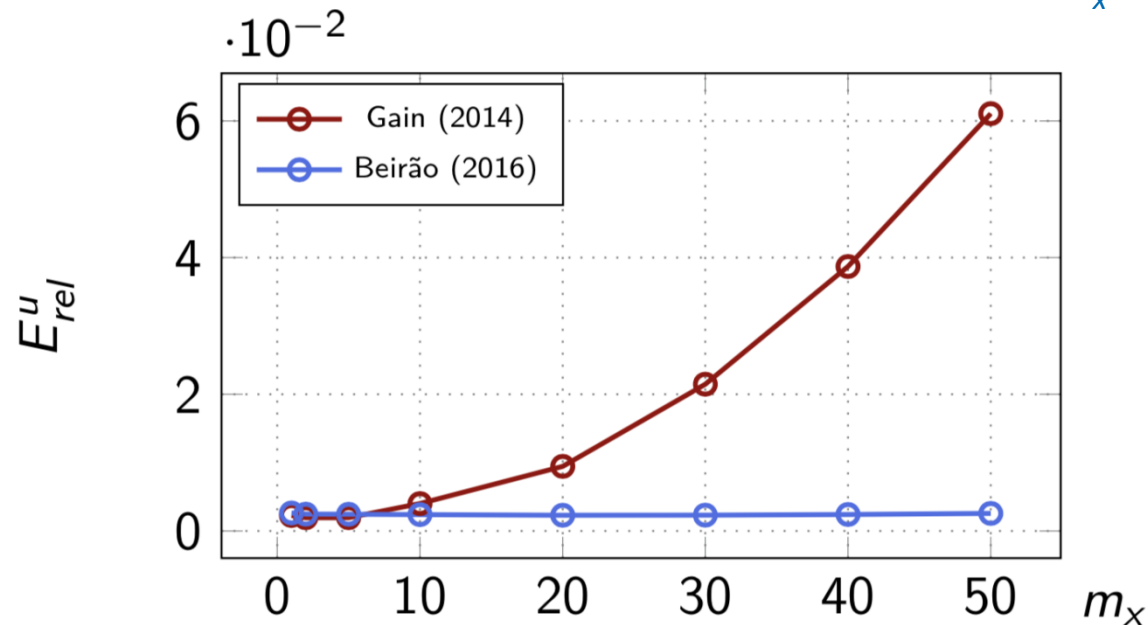
base



$m_x=5$, zoom



$m_x=10$, zoom



QUELQUES RÉSULTATS POUR L'ÉLASTICITÉ

● Elasticité 3D, isotrope

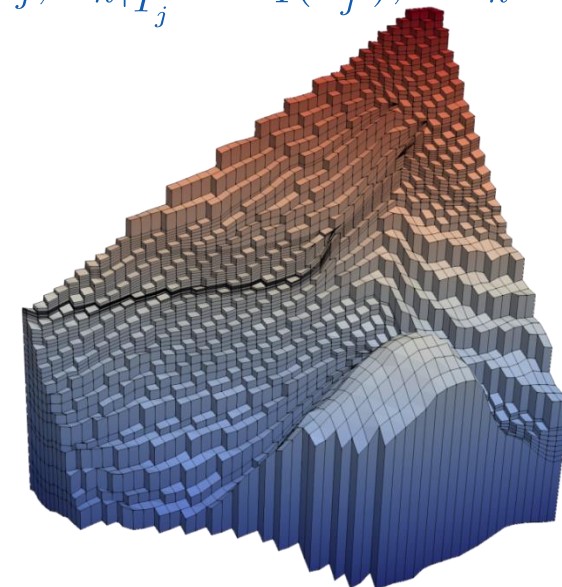
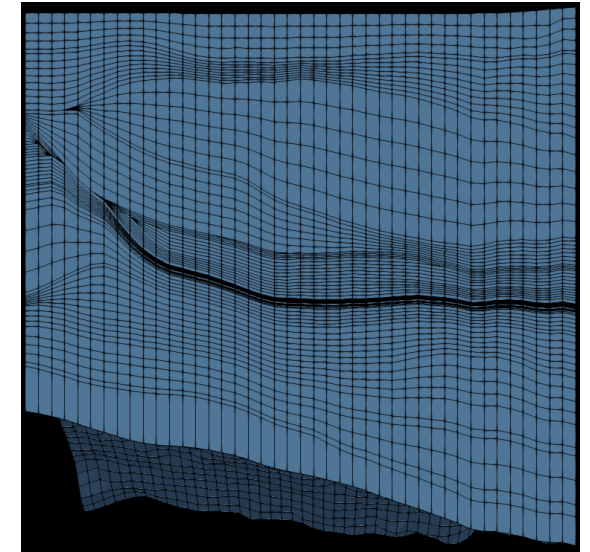
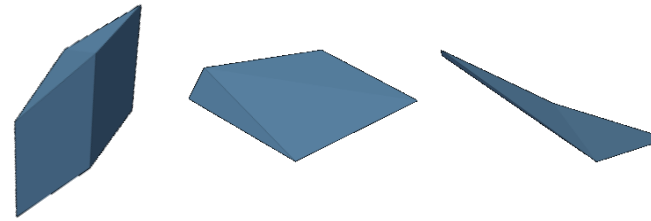
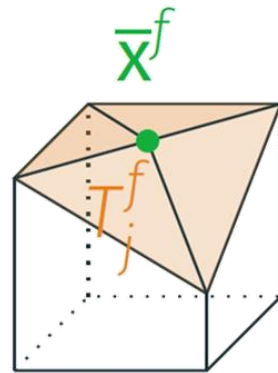
- Maillage extrait d'un cas réel
- Mailles déformées, dégénérées

● Approche [Chi et al, 2017]

- Faces non planes triangulées à partir de l'isobarycentre

- $V_h^K = \{v_h \in H^1(K) : v_h|_{\partial K} \in C^0(\partial K), v_h(\bar{\mathbf{x}}_f) = \frac{1}{N_f} \sum_j v_j, v_h|_{T_j^f} \in P_1(T_j^f), \Delta v_h = 0 \text{ dans } K\}$

- Exacte pour les solutions linéaires



POROÉLASTICITÉ

- Equilibre mécanique, Conservation de la masse (fluide faiblement compressible)

$$\text{Dans } \Omega \times [0, T] : \begin{cases} -\mathbf{div}(\bar{\sigma} - \alpha P \bar{\text{Id}}) = \mathbf{f} & (1) \\ \frac{\partial}{\partial t}(\alpha \mathbf{div} \mathbf{u} + c_0 P) + \mathbf{div}(-K \nabla P) = q & (2) \end{cases}$$

P Pression

$\mathbf{u} = \mathbf{0}, P = 0$ sur Γ, CI

● Discrétisation

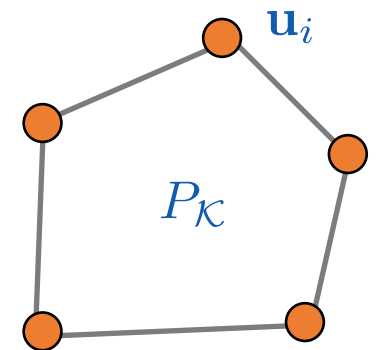
- VEM pour (1), VF centré sur les mailles pour (2)
- Euler implicite

$$a_h(\mathbf{u}_h, \mathbf{v}_h) - \sum_{\mathcal{K}} P_{\mathcal{K}}^n \int_{\mathcal{K}} \alpha \mathbf{div} \mathbf{v}_h = \langle \mathbf{f}_h, \mathbf{v}_h \rangle \quad \forall \mathbf{v}_h$$

$$\int_{\mathcal{K}} \alpha \mathbf{div} \mathbf{u}_h^n + |\mathcal{K}| c_{0,\mathcal{K}} P_{\mathcal{K}}^n + \Delta t \sum_{f \in \partial \mathcal{K}} F_{\mathcal{K},f}^n = \Delta t \int_{\mathcal{K}} q + \int_{\mathcal{K}} \alpha \mathbf{div} \mathbf{u}_h^{n-1} + |\mathcal{K}| c_{0,\mathcal{K}} P_{\mathcal{K}}^{n-1} \quad \forall \mathcal{K}$$

- Approximation des flux $F_{\mathcal{K},f} = \sum_{\mathcal{K}'} t_{f,\mathcal{K}'} P_{\mathcal{K}'}$

- Schémas VF TPFA et O-scheme disponibles sous ArcGeoSim



POROÉLASTICITÉ

● Analyse du schéma pour VEM-TPFA

- Existence, unicité de la solution, à chaque pas de temps
- Stabilité
- Estimation d'erreur
 - Sous des hyp. de régularité suffisante
 - Erreur d'approximation E^A
 - Erreur d'interpolation/projection E^I

$$\|E_{\mathbf{u}}^{A,N}\|_{H^1}^2 + \|E_P^{A,N}\|_{L_2}^2 + \sum_{n=1}^N \Delta t \|E_P^{A,n}\|_{H^1(\mathcal{T})}^2 \leq B(h^2 + \Delta t^2 + |E^I|)$$

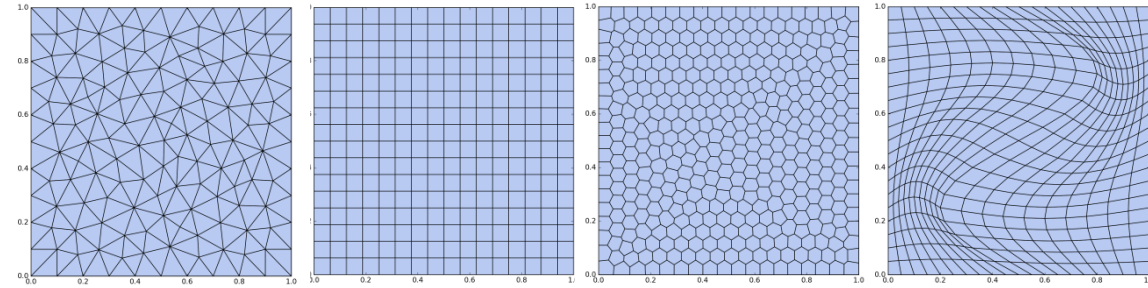
$$\|E_{\mathbf{u}}^A\|_{L^\infty(0,T;H^1(\Omega))}^2 + \|E_P^A\|_{L^\infty(0,T;L^2(\Omega))}^2 + \|E_P^A\|_{L^2(0,T;H^1(\mathcal{T}))}^2 \leq C(h^2 + \Delta t^2)$$

POROELASTICITÉ

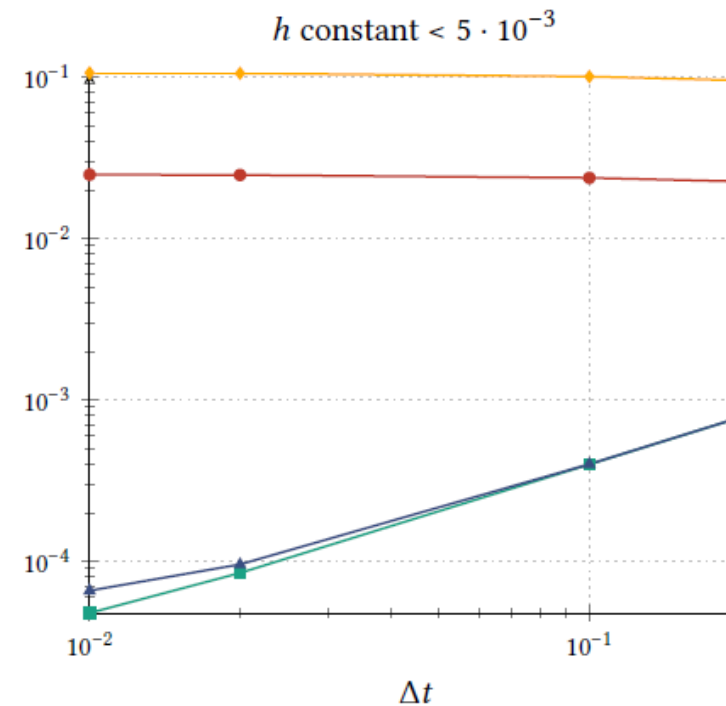
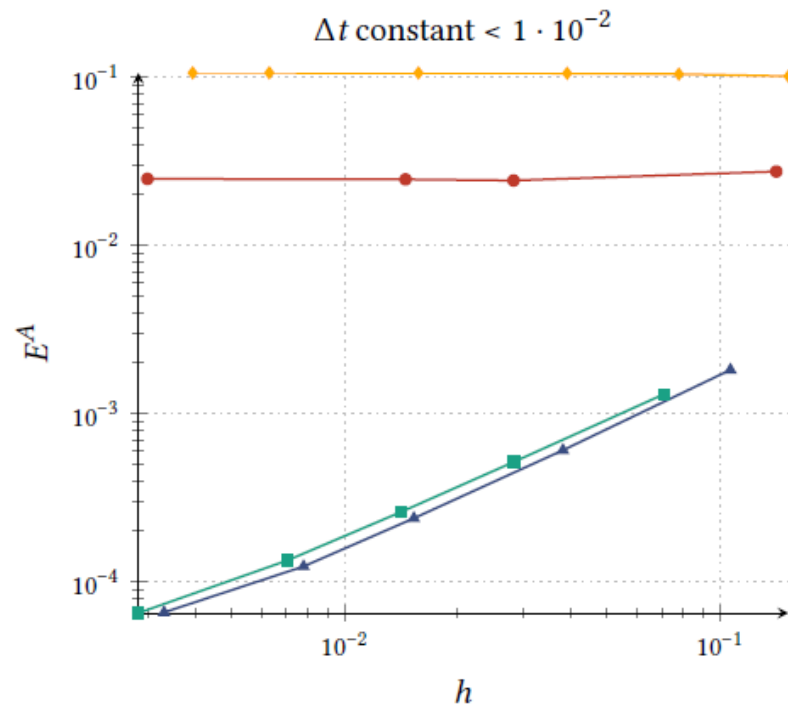
$$\mathbf{u}_{ex}(x, y, t) = 10^{-2} e^{-t} \begin{pmatrix} x^2 y \\ -x y^2 \end{pmatrix}$$

$$P_{ex}(x, y, t) = e^{-t} \sin \frac{x}{\sqrt{2}} \sin \frac{y}{\sqrt{2}}$$

$$\alpha = 1, c_0 = 0.5, T = 1$$



VEM-TPFA



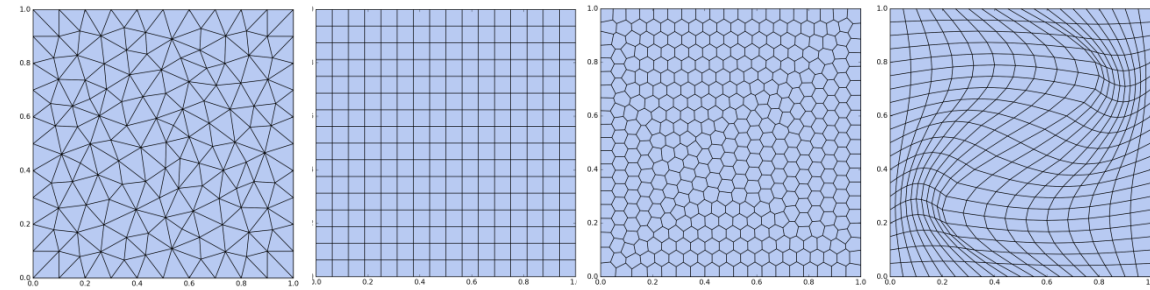
—●— Triangles —■— Carrés —▲— Lloyd —◆— Twisted

POROELASTICITÉ

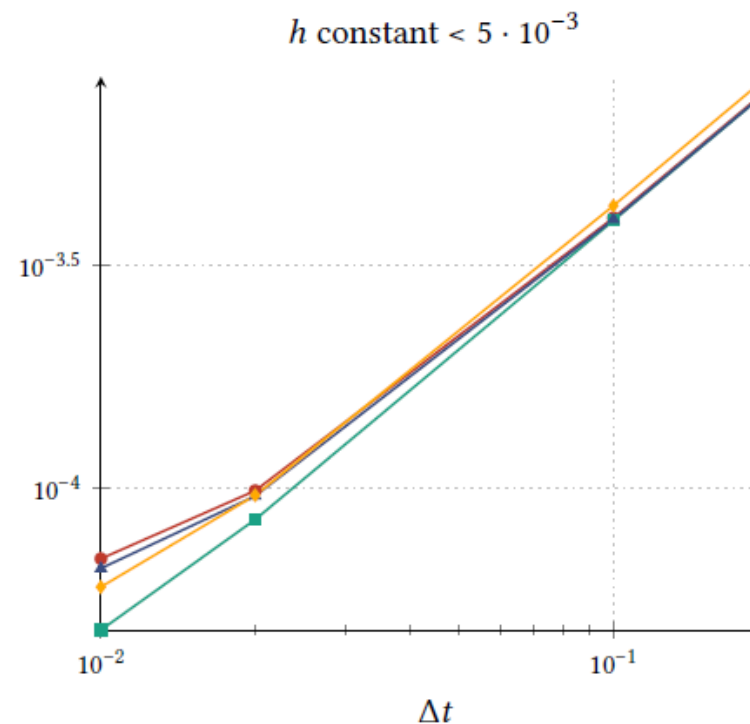
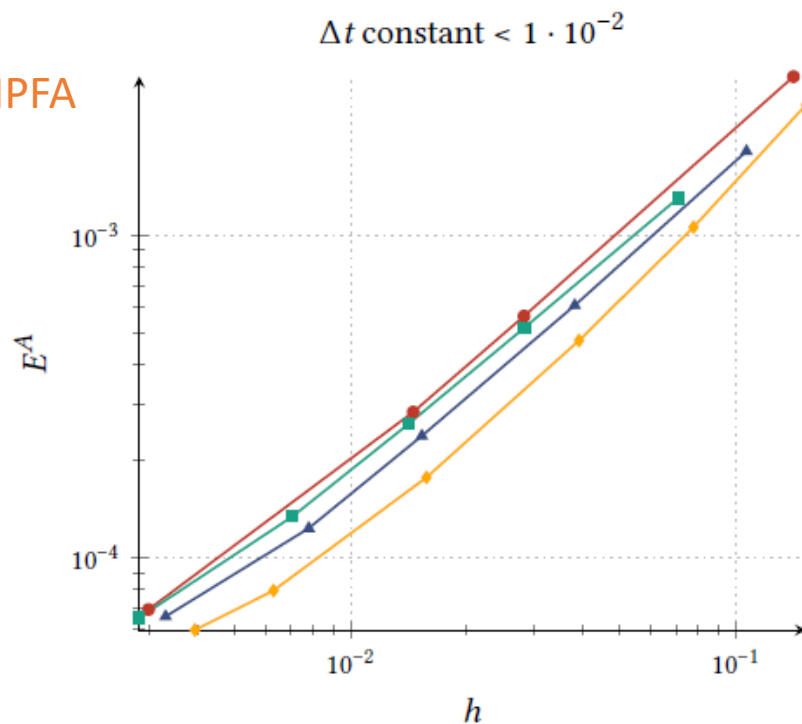
$$\mathbf{u}_{ex}(x, y, t) = 10^{-2} e^{-t} \begin{pmatrix} x^2 y \\ -x y^2 \end{pmatrix}$$

$$P_{ex}(x, y, t) = e^{-t} \sin \frac{x}{\sqrt{2}} \sin \frac{y}{\sqrt{2}}$$

$$\alpha = 1, c_0 = 0.5, T = 1$$



VEM-MPFA



—●— Triangles —■— Carrés —▲— Lloyd —◆— Twisted

POROELASTICITÉ

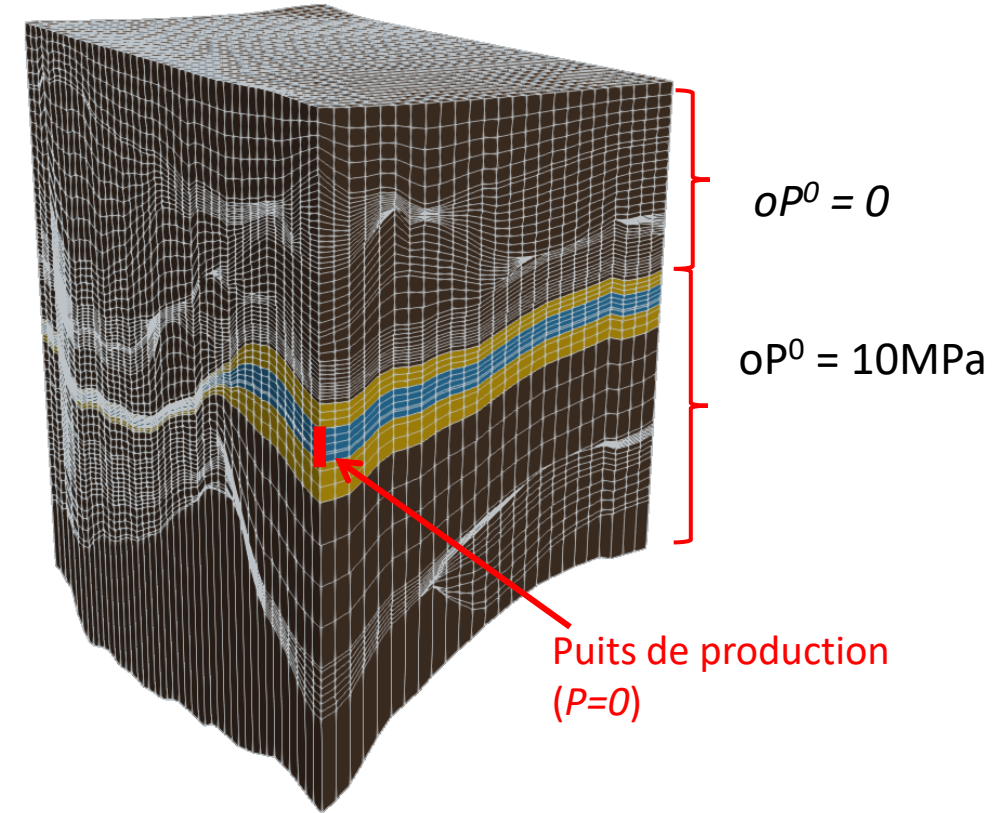
- Cas réaliste

- Milieu multi-couches

- Surpression initiale

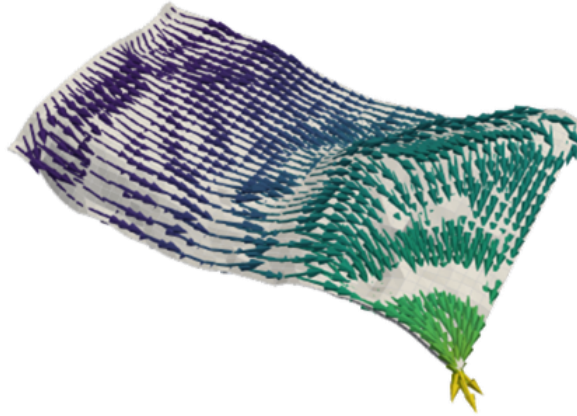
- Puits de production

	κ	ϕ	E	ν
Sandstone ■	10^{-9}	0.2	$5 \cdot 10^9$	0.3
Shale ■	10^{-15}	0.1	$5 \cdot 10^9$	0.3
Reservoir ■	10^{-9}	0.3	$1 \cdot 10^9$	0.3

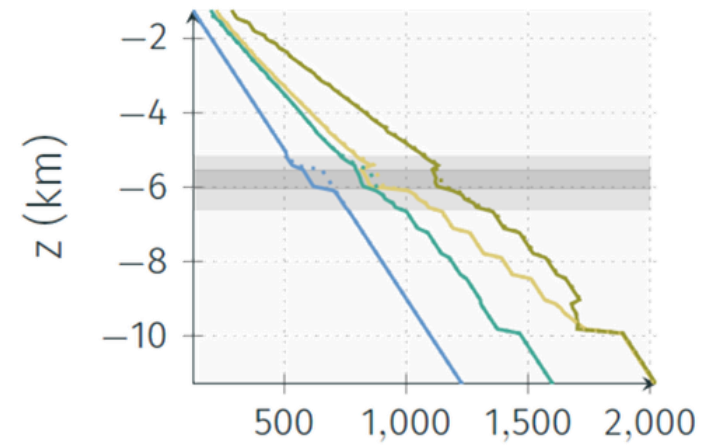


POROELASTICITÉ

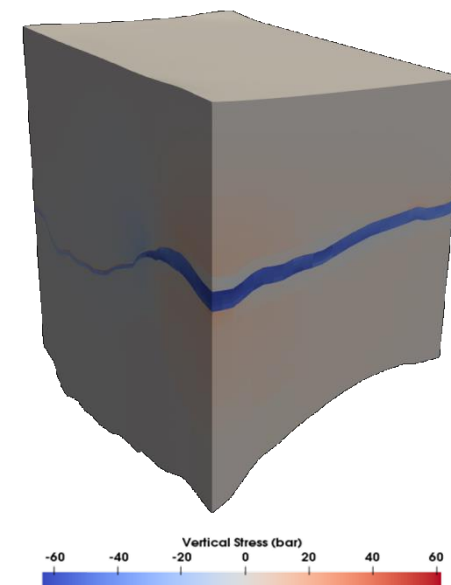
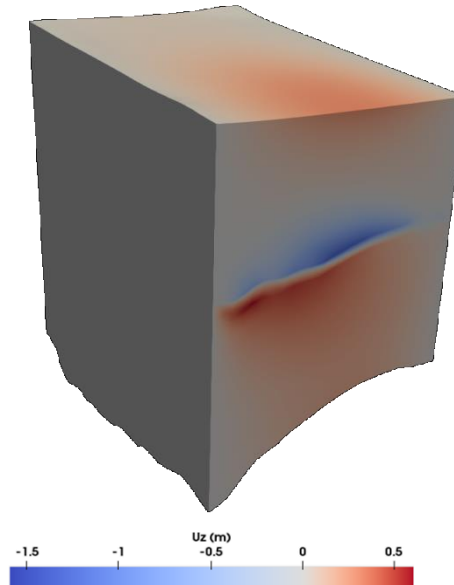
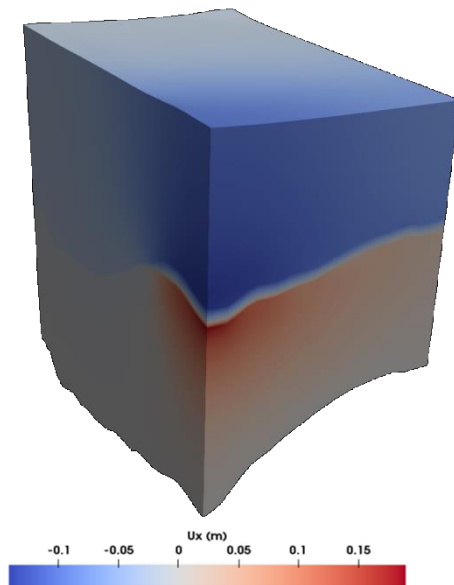
Horizontal slice
in the reservoir



Vertical line near the well



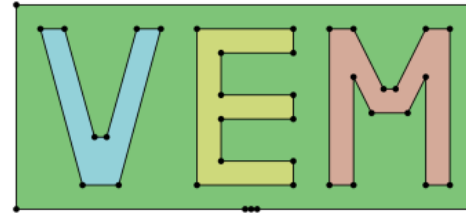
Pressure and stress (bar)



BILAN - PERSPECTIVES

- Discrétisation VEM/VF pertinente pour la poroélasticité
 - Maillages généraux
 - Analyse VEM/TPFA
 - Résultats numériques VEM/MPFA
- Résolution du système linéaire en déplacement, pression
 - Résolution itérative de type « Fixed-stress »
 - Préconditionneur DDML pour le déplacement (GenEO [Spillane 2014])
- Perspectives
 - Autres schémas VF (NLTPFA, ...)
 - Mécanique et/ou écoulements plus complexes
 - Maillages polyédriques généraux pour les sous-sols complexes
 - Génération de maillage
 - Nouveau type de maillage dans Arcane

RÉFÉRENCES



[Beirao et al. 2013a] L. Beirão Da Veiga et al. « Basic principles of virtual element methods ». In : Mathematical Models & Methods in applied sciences 23.1 (2013), p. 199-214

[Beirao et al. 2013b] L. Beirão Da Veiga, F. Brezzi et L.D. Marini. « Virtual Elements for Linear Elasticity Problems ». In : SIAM Journal on Numerical Analysis 51.2 (2013), p. 794-812.

[Beirao et al. 2015] L. Beirão Da Veiga, C. Lovadina et D. Mora. « A Virtual Element Method for elastic and inelastic problems on polytope meshes ». In : Computer Methods in Applied Mechanics and Engineering 295 (2015), p. 327-346.

Arun L. Gain, Cameron Talischi et Glaucio H. Paulino. « On the Virtual Element Method for three-dimensional linear elasticity problems on arbitrary polyhedral meshes ». In : Computer Methods in Applied Mechanics and Engineering 282 (2014), p. 132-160

[Chi et al. 2017] H. Chi, L. Beirão Da Veiga et G.H. Paulino. « Some basic formulations of the virtual element method (VEM) for finite deformations ». In : Computer Methods in Applied Mechanics and Engineering 318 (2017), p. 148-192

N. Spillane, V. Dolean, P. Hauret, F. Nataf, C. Pechstein et R. Scheichl. « Abstract robust coarse spaces for systems of PDEs via generalized eigenproblems in the overlaps ». In : *Numerische Mathematik* 126.4 (2014), p. 741-770.

N. Spillane. « Robust domain decomposition methods for symmetric positive definite problems ». Thèse de doct. Université Pierre et Marie Curie - Paris VI, 2014.

Innovater les énergies

Retrouvez-nous sur :

 www.ifpenergiesnouvelles.fr

 @IFPENinnovation

